

水產部海洋水產研究所

水产丛书

第20号

魚群定位的物理基礎
和試驗研究

苏联专家E.B.石什科娃讲稿

譯者的話

苏联全苏海洋渔业与海洋学研究所工程师B.B.石什科娃同志为渔业方面的水声学专家，1960年4月应聘来我所短期指导工作。在我所工作期间，就水声学在渔业上的利用問題系統地做了多次报告，給我們以很大的帮助。

石什科娃同志根据苏联的試驗研究成果，并参考最新的国外資料，在理論和应用兩方面闡述頗為詳尽。報告的內容，除了詳細地探討了与魚群探测有关的水声學問題以外，还涉及收听魚声以及魚对船只噪声的反应的研究成果，这些都是極其可貴的資料。在我国应用水声仪器的魚群探测工作日益發展的今天，这些資料将起很大的指導作用。为了在我国的科学研究上和渔业实践上能得到廣泛的利用，特将譯出的譯稿整理出版，供各有关方面参考。

此書由詹之青同志翻譯，由李豹德、陳鴻通、陳毓楨、翁維源、宋輔華、顧嗣明等同志校訂，特別是陳毓楨同志在隨同专家工作中对譯稿提出了不少意見。限于翻譯水平和业务水平，譯文中难免有缺点以至錯誤，希望讀者多加指正。

319-3-18 121#

水产部海洋水产研究所

目 次

一、声波在海中的傳播速度及其与水文条件的关系.....	1
二、声波在海中的反射与散射.....	9
三、魚体的声学特性.....	18
四、上層魚類和底層魚類的反射本領.....	39
五、蟹类的反射本領.....	56
六、魚体的超声反射的损失.....	61
七、海中和水——魚媒質中声波隨距离而衰減的現象.....	69
八、深水散射層.....	85
九、海中的混响及其对魚群定位条件的影响.....	90
十、魚群定位器有效距离的計算.....	97
十一、魚群定位器的回声訊号的分类.....	112
十二、魚对探察船的噪声的反应.....	118
十三、辨識魚群种类組成的可能性.....	124

一、声波在海中的傳播速度及其与水文条件的关系

水是具有一定容積彈性的一种媒質。因此，正象在其他液体和气体、特别是在空气中一样，声波在水中也是可以傳播的。声以一定速度从一个層到另一个層的稠密和稀疏状态的傳播过程叫做声波；該項速度称作声速。声波在某一媒質（例如，水）中傳播时进行运动，从一个点傳到另一个点，但整个媒質本身是不动的。如果把由振动物体构成的声源放入水中，在与振动面直接接触的水中，将發生压力的变化。媒質状态的变化循序地从一个質点傳到另一質点，于是就产生从声源开始的声波傳播过程。声波是一种縱波，因为在声波傳播时，質点是在傳播的方向上，即沿着声綫方向振动的。声綫乃是与波陣面相垂直的綫。

在每一瞬间振动傳播到一定的面，这个面称为波面（*волновая поверхность*），或称波陣面（*фронт волны*）。位于某一波陣面上的媒質的質点进行着同一的（同相的）运动。質点在声波中的振动速度与声波本身的运动速度是兩种完全不同的概念，因此不能将它們混淆起来。如果波从某一点在自由均匀媒質中开始傳播，波陣面就成为球面，在这种情况下就产生球面波。在距声振动發生点很远的地方，波陣面可以被認為是一个平面，波就是平面波。

从声学的观点看來，液体与气体的主要区别如下。液体媒質（如水）比气体（如空气）具有大得多的密度，因此，可压缩的程度要小許多倍。甚至在压力很大的情况下，也很

難看出水的體積的變化。但是，通過精密的測定已經查明，不但液体，甚至固体（如金屬）也能够受到壓縮。甚至在聲壓這樣小的压力下，縱然程度很小，它們也是要受到壓縮的。正是由于液体和固体可被壓縮，所以聲波才能在其中傳播。

波在液体媒質中的傳播速度，取決于這一媒質的特性——彈性和密度，其關係可表現為下式：

$$C = \sqrt{\frac{E}{\rho}} = \sqrt{\frac{1}{k\rho}}$$

式中：
E——容積彈性模數，或媒質的壓縮系數的倒數；
 ρ ——媒質的密度；

k——液体的壓縮系數，即壓力發生1個大氣壓的變化時液体容積的相對變化。

水的壓縮系數 $k = 4 \times 7 \times 10^{-11}$ (CGS單位制)。

溫度為8°C時水的密度 $\rho = 0.998$ 。

根據上述公式，聲在水中的速度為 $C = 1440$ 米/秒，即約為空氣中的速度的4.5倍。此數不是一個嚴格的常數，而要取決于下列因子：溫度、鹽類含量、氣體含量和靜壓力。從實踐中已知，聲波在海中的傳播速度變動在1420到1520米/秒之間。

隨溫度、鹽度和靜壓力而有變化的聲速，可用下列經驗（根據試驗）公式求出，這個公式對實際計算來說，是有足夠的精確度的。

$$C = 1410 + 4.21t - 0.037t^2 + 3.14S + 0.0175h$$

式中：
C——水中的聲速（米/秒）；

t——水溫（°C.）；

S——鹽度（%）（每1升水中含鹽的克數）；

h ——深度(米)。

从以上公式可得出結論，水中的声速随温度、盐度和静压力的增加而增大。

表1指出，在不同温度值条件下，温度每上升一度时声速增加多少。

根据最初溫度的大小溫度每上升一最時声速的增加情况

表1

最初溫度 °C	5	10	15	20
增加值 ΔC (米/秒)	3.8	3.5	3.1	2.7

静压力提高1个大气压即水深增加10米时，声速就增加0.175米/秒。水深增加150米所引起的声速的增加，与温度提高1°时大致相同。

盐度的变动主要是在靠近陸地处起着重要作用，因为那里有大量淡水从江河流入海中。盐度每有1%的变化，根据公式，声速的变化为1.14米/秒。

圖1指出了声速与温度和盐度的关系。

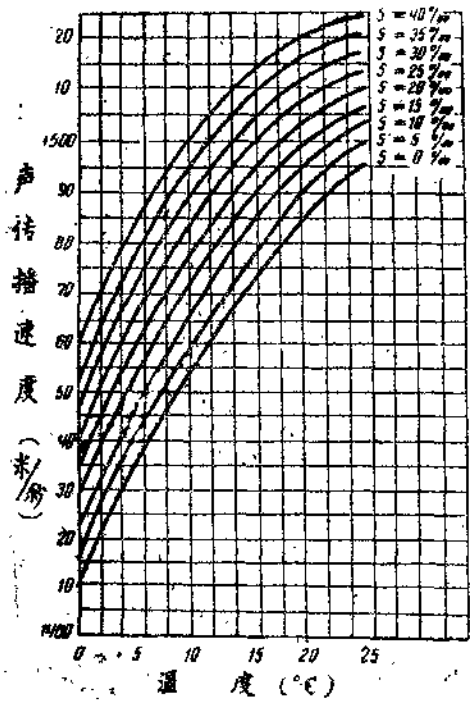
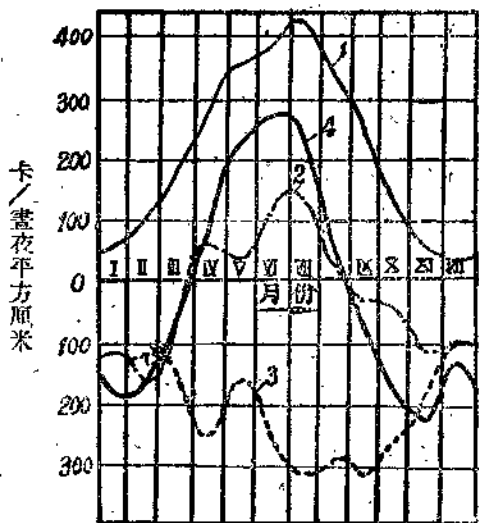


圖1 声速与水温和鹽度的关系。S——鹽度(‰)。

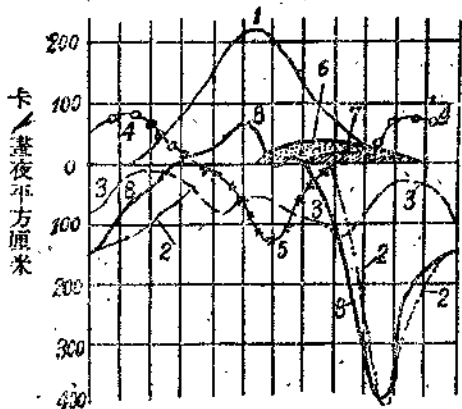
在各个季节温度按深度的垂直分布取决于該海区的热平衡。每一个海中都有其十分固定的热平衡。

圖2和3用圖解表現出黑海和北冰洋的热平衡。在这些圖解中，横坐标上画出一年的各个月份，縱坐标表現出一昼夜中各該海面每一平方厘米吸收或放散的（横坐标以上或以下）热量。



- 1 ——由太陽進入的
热量；
2 ——海与大气的热
交换；
3 ——蒸發中的热消
耗；
4 ——結果曲綫。

圖 2 黑海的热平衡。



- 1 ——由太陽進入的
热量；
2 ——海与太陽的热
交换；
3 ——蒸發中的热消
耗；
4 ——冰塊形成中的
热；
5 ——冰融化中的
热；
6 和 7 ——鄂畢和叶
尼塞河的热；
8 ——結果曲綫。

圖 3 北冰洋的热平衡

下列兩表可說明黑海和北冰洋的熱平衡。

黑海的周年熱平衡

表 2

進 入 热 量		支 出 热 量	
來 源	热 量 (卡/立方厘米)	引起热平 衡的物理現象	热 量 (卡/立方厘米)
太陽和天空 与大气之間 的热交換	82,000 11,000	蒸發 逆向热交換及輻射	71,000 22,000
合 計	93,000	合 計	93,000

北冰洋的周年熱平衡

表 3

進 入 热 量		支 出 热 量	
來 源	热 量 (卡/平方厘米)	引起热平 衡的物理現象	热 量 (卡/平方厘米)
太陽和天空	33,700	与大气之間 的热交換	48,000
大西洋水体	38,000	蒸發	27,800
冰 的 形 成	11,200	冰 的 融 化	11,200
河 水	4,100		
合 計	87,000	合 計	87,000

太陽能直接进入海中很浅，表層的最上面數十厘米的水層吸收全部能量的一半。由於通過熱傳導的傳熱過程進行緩慢，溫暖季節中在海況平穩的情況下就形成上層與下層的溫度差。

海中上部各水層的水溫趨向一致的現象，是水體在風力影響下進行混合時發生的。

夏季中，通常隨着深度的增大，水溫先緩慢地逐漸下降，然後它的變化變得相當迅速（圖 4 a）。在某種深度中可能形成“溫躍層”（圖 4 a, T點）。隨著溫度的不均勻的變化，水

的密度也随着水深的增大先緩慢地、以后相当迅速地逐渐增大。这样一来，温躍層的特点是，与上部水層比較，不仅溫度有很大的变化，而且水的密度也有很大的变化。

声綫从一个水層傳到声的傳播速度与前者不同的另一水層时要發生曲折。这时就在海中出現声折射現象。

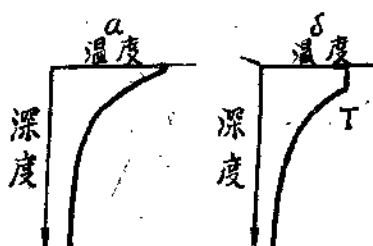


圖 4

对魚群定位來說，温躍層起着消极作用；因为声綫与温躍層表面构成很小的角度时声綫要大大弯曲，以致声波很少通过温躍層。

在不同的海中温躍層有着不同的厚度——从数米到数十米或更多。

在秋冬季表層海水逐渐变冷。因此就由于对流^①而發生水体的混合，形成了恆温層或称等温層；这个層有时占有很大的水深。如果海的深处的較暖的水比表層水具有更高的盐度，等温層的厚度就不大。这时将不發生对流，因为下層的水較重。

长时间持续的大风会引起海水的渦动混合，因此，直到很大的深度为止温度趋于一致。

海面的水溫昼夜变化要小得多，不过达到几度。

①对流——热在流动媒質中的移动。

盐度比温度变化程度较小。海中不同深度上的盐度变化和分布，是淡水的流入和对流混合与涡动混合过程所引起的。在上述因子的影响下，海中就发生随时间和海区而不同的温度和盐度的垂直分布。

知道了所有这些数值，就能够确定声速的垂直分布，而归根结底，声速的垂直分布决定着声在海中传播的特性。图5以图解方式说明海中不同深度上声速分布的各种情况：

(a) 表层或整个深度为不变声速，这种情况发生于浅海；

(b) 随深度增大而降低的声速负梯度，这种情况冬季发生于海中最下层水体的温度高于上层的地点；

(c) 声速在上层为负梯度，到下层变为正梯度，这是冬季中最常见的深海所特有的情况，这时在变冷的表层的下面有较暖的水层，再往下温度就降低了；

(d) 整个深度为正梯度，即随深度的增大温度匀调地下降，这种情况发生于春季海面刚刚开始变暖时；

(e) 上层(等温层)为不变声速，在此以下具有正梯度，即温度随水深而降低；这种情况是夏季所特有的；

(f) 上层声速不变，在此以下有一负梯度层；这种情况发生于冬季很大一部分表层已经变冷，在此以下温度随水深而增大时。

声速 (C)



图5 海中随水深而不同的声速分布的各种情况。

二、声波在海中的反射与散射

声波在水中传播时，发生水的质点变密和变稀现象。这样一来，对水的平均压力来说，声波就产生附加的压力变化，它称为声压(звуковое или акустическое давление)，用绝对单位——巴^①来测定。水的质点在有声波从其中通过时以一定速度在平衡位置附近振动，这种速度称为质点振动速度(акустическая скорость)。

对平面波来说，声压 P 与质点振动速度 v 之间有着下列的重要比例关系：

$$\frac{P}{v} = \rho c \quad p = 1.6 V$$

式中： ρ —— 水的密度；

c —— 水中的声速。

从外观来看，上式很象说明电流 I 与电压 V 和导体电阻 R 的关系的欧姆定律 $\frac{V}{I} = R$ 。

这种相似自然是形式上的，因为声波从水中通过与电流从导体中通过相比，乃是不同的物理特性。但是，在现代声学中，为了使不同课题的解决简单化，往往利用这种相似。在这种情况下，电压 V 起着声压 P 的作用，电流 I 起着质点振动速度 v 的作用，欧姆电阻 R 起着波阻抗(声阻抗) ρc 的作用。

①巴——1 平方厘米所受的 1 达因的压力。达因——作用于 1 克物质使其产生 1 厘米/秒²的加速度的力。

当媒質保持均匀时，声波可以毫无阻碍地傳播下去。譬如說，如果声遇到具有不同波阻抗的媒質，均匀性就被破坏。当來到波阻抗不同的兩种媒質的界面上时，声波一部分被反射回去，一部分进入第二种媒質（被吸收）。

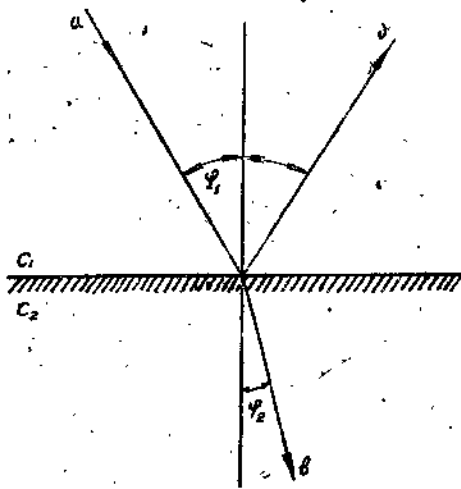


圖6 声綫的入射、反射和折射。

圖6表明存在着兩种不同媒質时声綫——入射声綫、反射声綫和折射声綫的行程。如果声波朝着“a”的方向入射到兩种媒質的界面上，那么，一部分声能从界面上反射，仍留在第一种媒質之内，而向“c”的方向傳播；另一部分声能进入第二种媒質中，朝着“b”的方向傳播，此方向不同于原来的方向“a”，于是發生声的折射。

折射是根据下列定律进行的：

$$\frac{\sin\varphi_1}{\sin\varphi_2} = \frac{C_1}{C_2}$$

式中： φ_1 和 φ_2 、 C_1 和 C_2 各为两种媒質中的入射角和声速。

声的折射定律，如上节所述，可据以闡明海中出現的折射現象，这种現象就是声綫从一个水層进入傳播速度与前者不同的另一水層时的曲折（弯曲）。

下面分析声波反射中所發生的現象的本質，并闡明某些数量关系。任一媒質的反射本領都可用反射系数來說明，反射系数就是反射声波与入射声波的質点振动速度（或声压）的振幅比：

$$\beta_{\text{反射}} = \frac{V_{\text{反射}}}{V_{\text{入射}}} = \frac{P_{\text{反射}}}{P_{\text{入射}}}$$

在声波正常（垂直）入射的情况下，反射系数决定于下列比值：

$$\beta = \frac{\rho_1 C_1 - \rho_2 C_2}{\rho_1 C_1 + \rho_2 C_2}$$

式中： $\rho_1 C_1$ ——第一种媒質的波阻抗；

$\rho_2 C_2$ ——第二种媒質的波阻抗。

对空气來說，波阻抗 ($\rho c_{\text{空氣}}$) 为 43。水的波阻抗 ($\rho c_{\text{水}}$) 为 1.5×10^5 。

声波从空气中入射到水面时，几乎完全被反射。声綫从水中入射到水的界面——空气时，也可看到同样現象。

除了有关声压（或質点振动速度）的反射系数的概念之外，还存在着有关声能的反射系数的概念，声能的反射系数就是反射声能与入射声能之比。为了把这两个概念联系起来，下面我們考察几个比例关系。在 1 秒鐘之間从与声波运动方向保持正常关系（相垂直）的 1 平方厘米的面上通过的能量，称为声强度。如果在某一瞬間某一点上存在着声压 P ，而質点振动速度等于 V ，則瞬間的声强度值 I ，等于：

$$I_t = P V \text{①}$$

声压的有效值(平均值)为振幅的 $\sqrt{2}$ 分之一，即

$$P_s = \frac{P}{\sqrt{2}}, \quad (\text{见图2-5})$$

质点振动速度的有效值为振幅的 $\sqrt{2}$ 分之一，即

$$V_s = \frac{V}{\sqrt{2}},$$

因此，声强度的有效值为：

$$I = \frac{1}{2} P V.$$

从已知的比例式

$$\frac{P}{V} = \rho c$$

可以得出：

$$P = \rho c V$$

$$V = \frac{P}{\rho c} = \frac{P}{I_c}$$

把P和V的值代入声强度的式中，得出：

$$I = \frac{1}{2} \rho c V^2$$

$$I = \frac{1}{2} \cdot \frac{P^2}{\rho c}$$

由此得出结论，声强度(能量流密度)与质点振动速度的振幅的平方，或者说，与声压的平方成正比。从而，声能

①这个比例表现声能流(ПОТОК ЭНЕРГИИ)的密度。声能流这一概念是H.A.Умов(1846—1915)使用的。

的反射系数等于声压（质点振动速度）的反射系数的平方，即：

$$\frac{I_{\text{反射}}}{I_{\text{入射}}} = \frac{P^2_{\text{反射}}}{P^2_{\text{入射}}} = \frac{V^2_{\text{反射}}}{V^2_{\text{入射}}} = \beta^2$$

入射、反射和折射声波的能量比的分析表明，入射声波的功率等于反射的声波和折射的（被吸收的）声波的功率之和。

$$I_{\text{入射}} = I_{\text{反射}} + I_{\text{折射}}$$

由此得出声吸收系数 (α) 的概念，它是被吸收的声能与入射声能之比：

$$\alpha = \frac{I_{\text{吸收}}}{I_{\text{入射}}} = \frac{I_{\text{入射}} - I_{\text{反射}}}{I_{\text{入射}}} = 1 - \beta^2$$

因此， $\alpha = 1 - \beta^2$ 。

表 4 中列出平面波的波阻抗，以及不同的两种媒质的反射系数 β 和吸收系数 α （在声线正常入射的情况下）。

表 4

媒质名称	$\rho_1 C_1$ 克/平方厘米秒	$\rho_2 C_2$ 克/平方厘米秒	反射系数 β	吸收系数 $\alpha = 1 - \beta^2$
水—空气	1.5×10^6	41	1	0.001
水—钢	〃	3.9×10^8	0.93	0.13
水—木(云杉)	〃	5.6×10^4	0.46	0.79
水—冰	〃	1.8×10^4	0.79	0.37
水—橡皮	〃	5×10^3	0.74	0.45
水—花岗石	〃	11×10^8	0.76	0.42
水—砂	〃	3.2×10^5	0.36	0.87

在水中定位，特别是在鱼群定位中，我们比较常接触的不是无限大的面，而是长度不大的对象。当声波入射到物体

時，就發生波的散射，結果一部分能量返回成為回聲訊號。為了弄清楚所發生的現象，下面我們分析幾個數學上的比例關係①。

我們以 P_1 表示物体附近的入射聲波的聲壓，而以 I_1 表示聲強度，再來考察接收點的聲壓 P_2 和聲強度 I_2 的情況（圖 7）。

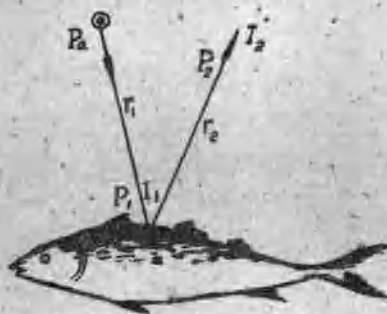


圖 7

在考察聲波的散射時，可以設想，散射體，例如魚，本身乃是這些聲波的二次發射體，它作為發射體，具有該物體固有的某種聲功率 P_2 和指向性。

入射聲波的聲強度為：

$$I_1 = \frac{P_0 r_1}{4 \pi r_1^2} \quad (1)$$

式中： P_0 —— 發射器的聲功率；

r_1 —— 從發射器到魚的距離；

r_1 —— 發射器的集中系數。

①下列所推出的公式引自 B.H.Тюлин的著作。是應用于魚的。